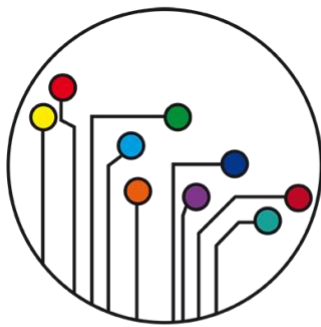


Computación de Altas Prestaciones

Informe de Prácticas



MÁSTER UNIVERSITARIO
INGENIERÍA INFORMÁTICA



VNiVERSiDAD
D SALAMANCA

CAMPUS DE EXCELENCIA INTERNACIONAL

Máster Universitario en Ingeniería Informática

Curso 2020/2021

Luis Blázquez Miñambres
Miguel Cabezas Puerto
Francisco Pinto Santos

Contenido

Tabla de ilustraciones.....	3
Índice de tablas.....	5
1. Introducción	7
2. Implementación con hilos (Pthreads).....	8
2.1. Análisis en máquina local	8
2.2. Análisis en máquina remota vdia3.fis.usal.es	13
2.3. Conclusiones	17
3. Implementación con procesos (MPI)	19
3.1. Análisis en máquina local	19
3.2. Análisis en máquina remota vdia3.fis.usal.es	23
3.3. Conclusiones	27
4. Implementación con hilos (OpenMP).....	29
4.1. Análisis en máquina local	29
4.2. Análisis en máquina remota vdia3.fis.usal.es	33
4.3. Conclusiones	36
5. Implementación híbrida con hilos y procesos (OpenMP + MPI)	37
5.1. Análisis en máquina local	37
5.2. Análisis en máquina remota vdia3.fis.usal.es	41
5.3. Conclusiones	45
6. Conclusiones finales	47
Bibliografía	49

Tabla de ilustraciones

Ilustración 1: Gráfica de comparación del tiempo de ejecución del programa frente al número de hilos utilizados usando la división por filas (izquierda) y de columnas (derecha)	10
Ilustración 2: Gráfica de comparación del speedup frente al número de hilos utilizados usando la división por filas (izquierda) y de columnas (derecha).....	10
Ilustración 3: Gráfica de comparación del coste frente al número de hilos utilizados usando la división por filas (izquierda) y de columnas (derecha).....	10
Ilustración 4: Gráfica de comparación de la eficiencia frente al número de hilos utilizados usando la división por filas (izquierda) y de columnas (derecha))	11
Ilustración 5: Gráfica de comparación del speedup frente al número de hilos utilizados usando la división por filas (izquierda) y de columnas (derecha).....	14
Ilustración 6: Gráfica de comparación del tiempo de ejecución del programa frente al número de hilos utilizados usando la división por filas (izquierda) y de columnas (derecha)	14
Ilustración 7: Gráfica de comparación del coste frente al número de hilos utilizados usando la división por filas (izquierda) y de columnas (derecha).....	15
Ilustración 8: Gráfica de comparación de la eficiencia frente al número de hilos utilizados usando la división por filas (izquierda) y de columnas (derecha))	15
Ilustración 9: Esquema de división por submatrices en MPI con un ejemplo de una matriz de 4x4 en división para procesos en submatrices de 2x2 para 4 procesos.....	19
Ilustración 10: Gráfica de representación del tiempo de ejecución frente al número de procesos en la máquina local	21
Ilustración 11: Gráfica de representación de speedup frente al número de procesos en la máquina local	21
Ilustración 12: Gráfica de representación de eficiencia frente al número de procesos en la máquina local	22
Ilustración 13: Gráfica de representación de coste frente al número de procesos en la máquina local.....	22
Ilustración 14: Gráfica de representación del tiempo de ejecución frente al número de procesos en la máquina remota	24
Ilustración 15: Gráfica de representación del speedup frente al número de procesos en la máquina remota.....	24
Ilustración 16: Gráfica de representación de la eficiencia frente al número de procesos en la máquina remota.....	24
Ilustración 17: Gráfica de representación del coste frente al número de procesos en la máquina remota.....	25
Ilustración 18: Gráfica de comparación del speedup del programa frente al número de hilos utilizados usando la división por filas (izquierda) y de columnas (derecha)	30
Ilustración 19: Gráfica de comparación del tiempo de ejecución del programa frente al número de hilos utilizados usando la división por filas (izquierda) y de columnas (derecha)	30
Ilustración 20: Gráfica de comparación de la eficiencia del programa frente al número de hilos utilizados usando la división por filas (izquierda) y de columnas (derecha)	30
Ilustración 21: Gráfica de comparación del tiempo del coste del programa frente al número de hilos utilizados usando la división por filas (izquierda) y de columnas (derecha)	31
Ilustración 22: Gráfica de comparación del tiempo de ejecución del programa frente al número de hilos utilizados usando la división por filas (izquierda) y de columnas (derecha) de la máquina en remoto para OpenMP	34
Ilustración 23: Gráfica de comparación del speedup del programa frente al número de hilos utilizados usando la división por filas (izquierda) y de columnas (derecha) de la máquina en remoto para OpenMP	34

Ilustración 24: Gráfica de comparación de la eficiencia del programa frente al número de hilos utilizados usando la división por filas (izquierda) y de columnas (derecha) de la máquina en remoto para OpenMP	35
Ilustración 25: Gráfica de comparación del coste del programa frente al número de hilos utilizados usando la división por filas (izquierda) y de columnas (derecha) de la máquina en remoto para OpenMP	35
Ilustración 26: Gráfica de comparación del tiempo de ejecución del programa frente al número de hilos utilizados en función del número de procesos de la máquina en local para el híbrido entre OpenMP y MPI	39
Ilustración 27: Gráfica de comparación del speedup del programa frente al número de hilos utilizados en función del número de procesos de la máquina en local para el híbrido entre OpenMP y MPI	39
Ilustración 28: Gráfica de comparación de la eficiencia del programa frente al número de hilos utilizados en función del número de procesos de la máquina en local para el híbrido entre OpenMP y MPI	40
Ilustración 29: Gráfica de comparación del coste del programa frente al número de hilos utilizados en función del número de procesos de la máquina en local para el híbrido entre OpenMP y MPI	40
Ilustración 30: Gráfica de comparación del tiempo de ejecución del programa frente al número de hilos utilizados en función del número de procesos de la máquina en remoto para el híbrido entre OpenMP y MPI	43
Ilustración 31: Gráfica de comparación del speedup del programa frente al número de hilos utilizados en función del número de procesos de la máquina en remoto para el híbrido entre OpenMP y MPI	43
Ilustración 32: Gráfica de comparación de la eficiencia del programa frente al número de hilos utilizados en función del número de procesos de la máquina en remoto para el híbrido entre OpenMP y MPI	44
Ilustración 33: Gráfica de comparación del coste del programa frente al número de hilos utilizados en función del número de procesos de la máquina en remoto para el híbrido entre OpenMP y MPI	44

Índice de tablas

Tabla 1: Resultados del análisis con Pthreads en máquina local usando división por columnas ..	8
Tabla 2: Resultados del análisis con Pthreads en máquina local usando división por filas.....	8
Tabla 3: Resultados del análisis con Pthreads en máquina en remoto usando división por columnas	13
Tabla 4: Resultados del análisis con Pthreads en máquina en remoto usando división por filas	13
Tabla 5: Resultados del análisis con MPI en máquina en local	20
Tabla 6: Resultados del análisis con MPI en máquina en remoto	23
Tabla 7: Resultados del análisis con OpenMP en máquina en local usando división por columnas	29
Tabla 8: Resultados del análisis con OpenMP en máquina en local usando división por filas ..	29
Tabla 9: Resultados del análisis con MPI en máquina en remoto	33
Tabla 10: Resultados del análisis con OpenMP en máquina en remoto usando división por columnas	33
Tabla 11: Resultados del análisis con OpenMP en máquina en remoto usando división por filas	33
Tabla 12: Resultados del análisis con OpenMP + MPI en máquina local usando 1 proceso	37
Tabla 13: Resultados del análisis con OpenMP + MPI en máquina local usando 2 procesos.....	37
Tabla 14: Resultados del análisis con OpenMP + MPI en máquina local usando 3 procesos.....	37
Tabla 15: Resultados del análisis con OpenMP + MPI en máquina local usando 4 procesos.....	38
Tabla 16: Resultados del análisis con OpenMP + MPI en máquina en remoto usando 1 proceso	41
Tabla 17: Resultados del análisis con OpenMP + MPI en máquina en remoto usando 2 procesos	41
Tabla 18: Resultados del análisis con OpenMP + MPI en máquina en remoto usando 3 procesos	41
Tabla 19: Resultados del análisis con OpenMP + MPI en máquina en remoto usando 4 procesos	42

1. Introducción

En este informe se detallarán los análisis referentes a las distintas implementaciones de las prácticas propuestas en la asignatura “Computación de Altas Prestaciones”.

La práctica que se ha pretendido implementar se hará haciendo uso de distintos paradigmas y bibliotecas de funcionamiento en paralelo mediante el lenguaje de programación C, en concreto: Pthreads, MPI y OpenMP.

El objetivo de la práctica es un algoritmo de simulación de propagación de calor en una plancha metálica en el que , haciendo uso de las bibliotecas descritas anteriormente, se calculará la temperatura de un punto de la plancha en un determinado instante en función de la temperatura en un instante anterior.

Para la realización de la práctica y , con el fin de discernir un análisis más detallado y comparativo entre las distintas técnicas utilizadas de paralelización, se ha ejecutado el programa con cada una de las bibliotecas en un ordenador personal en local, por un lado, y por otro lado en la máquina en remoto habilitada por los profesores de la asignatura para su uso en la red dentro de la universidad. Esto con el fin de , como se ha mencionado, desglosar una comparativa que refleje de forma mucho más detallada la variación de distintas métricas y parámetros en función de la máquina sobre la que se lanza el programa.

2. Implementación con hilos (Pthreads)

2.1. Análisis en máquina local

Dentro del análisis realizado del programa mediante el uso de la biblioteca Pthreads se pueden observar un resumen de los datos extraídos en la Tabla 1 y en la Tabla 2. Se ha partido del análisis de cuatro casos bases con 1, 5, 10 y 20 hilos variando el tamaño de la matriz debido a la gran extensión de los datos en el archivo encolumnado extraído como resultado en la ejecución del programa. Esto se ha llevado a cabo haciendo uso de un ordenador personal con las siguientes especificaciones:

- 16 GB RAM
- Intel® Core™ i7-7800X CPU 3.50 GHz, 6 procesadores principales

Tabla 1: Resultados del análisis con Pthreads en máquina local usando división por columnas

Nº hilos	Tamaño Matriz	Nº iteraciones	Tiempo de ejecución (ms)	Speedup	Eficiencia (%)	Coste
1	100x100	1000	798998	1	100	0
5	100x100	1000	711404	1,12312835	22,462567	3557020
10	100x100	1000	1030296	0,77550335	7,7550335	10302960
20	100x100	1000	2065194	0,38688762	1,93443812	41303880
1	500x500	1000	14420794	1	100	0
5	500x500	1000	4970013	2,90156062	58,0312124	24850065
10	500x500	1000	5249200	2,74723653	27,4723653	52492000
20	500x500	1000	4522744	3,18850547	15,9425274	90454880
1	1000x1000	1000	54387137	1	100	0
5	1000x1000	1000	18314904	2,96955621	59,3911243	91574520
10	1000x1000	1000	17887320	3,0405414	30,405414	178873200
20	1000x1000	1000	15437787	3,52298791	17,6149396	308755740

Tabla 2: Resultados del análisis con Pthreads en máquina local usando división por filas

Nº hilos	Tamaño Matriz	Nº iteraciones	Tiempo de ejecución (ms)	Speedup	Eficiencia (%)	Coste
1	100x100	1000	811909	1	100	0
5	100x100	1000	583264	1,39200945	27,840189	2916320
10	100x100	1000	1024981	0,79212102	7,92121025	10249810
20	100x100	1000	1967152	0,41273323	2,06366615	39343040
1	500x500	1000	14668777	1	100	0
5	500x500	1000	4956000	2,95980165	59,1960331	24780000
10	500x500	1000	4607048	3,18398614	31,8398614	46070480
20	500x500	1000	4462684	3,28698537	16,4349268	89253680

1	1000x1000	1000	56603594	1	100	0
5	1000x1000	1000	17916521	3,15929605	63,185921	89582605
10	1000x1000	1000	17335269	3,26522732	32,6522732	173352690
20	1000x1000	1000	15107699	3,74667208	18,7333604	302153980

En cuanto a la tendencia del programa, haciendo uso de todo el conjunto obtenidos en varias ejecuciones del programa con distintos parámetros se puede observar las ilustraciones 1-4 para las métricas haciendo uso de la división por columnas y las ilustraciones 5-8 para las métricas haciendo uso de la división por filas. En esta ilustraciones proporcionadas se puede observar que en todas existe una tendencia, esto se ha comprobado manteniendo constante el resto de los parámetros y variando para cada caso base el tamaño de la matriz manteniendo el resto de los parámetros constantes.

Así se pueden observar varios detalles en cuanto a la división por columnas y al aumento del tamaño de la matriz que representa la plancha:

- El tiempo de cálculo decrece a medida que aumenta el número de hilos ya que, a más hilos trabajando sobre la plancha, tardarán menos en realizar las tareas ya que estas estarán distribuidas entre los distintos hilos.
- En cuanto al speedup, se puede ver que, a mayor número de hilos, mayor es la tendencia del speedup porque aumentamos el número de recursos. Y ante un aumento de prestaciones, mayor productividad (ancho de banda) y menor tiempo de ejecución para la realización de cada tarea.
- En cuanto a la eficiencia, como se puede ver, con un solo proceso la eficiencia es del 100 % puesto que, al haber un solo hilo, aprovecha todo el tiempo que tiene realizando las tareas útiles ya que no tiene que comunicarse con otros hilos. Esto ocurre, a medida que aumenta el número de hilos, donde a más hilos, menor es la eficiencia dado que la comunicación en la paralelización impide que aprovechen todo el tiempo de ejecución del programa en realizar los cálculos del algoritmo sino también en comunicarse entre ellos.
- Por último, el coste computacional supone un valor trivial puesto que, ante un aumento del número de hilos, el coste computacional en llevar a cabo las tareas es mayor ya que cada hilo requiere un tiempo de CPU para sí mismo que se tiene que repartir entre los hilos disponibles.

En cuanto a la división por filas, que se puede ver a continuación junto con las gráficas de división por columnas simplemente destacar que el tiempo de cálculo, a medida que aumenta el número de hilos, decrece más progresivamente y tarda más que la división por columnas. Lo que se traduce en menores valores de eficiencia y por tanto un mayor coste, computacionalmente hablando.

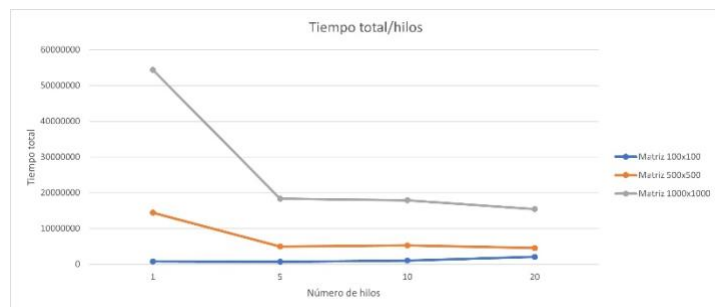
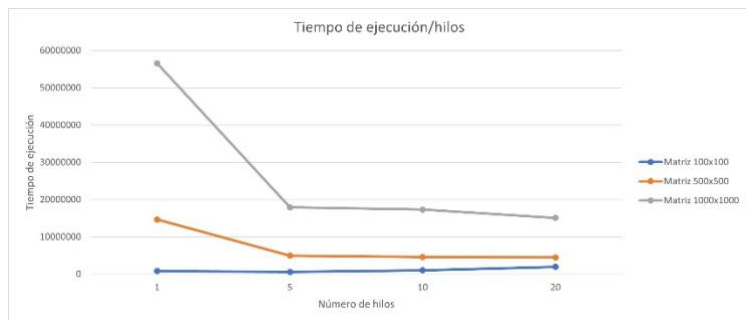


Ilustración 1: Gráfica de comparación del tiempo de ejecución del programa frente al número de hilos utilizados usando la división por filas (izquierda) y de columnas (derecha)

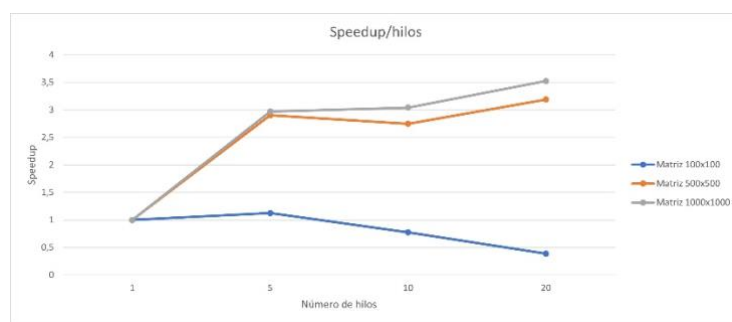


Ilustración 2: Gráfica de comparación del speedup frente al número de hilos utilizados usando la división por filas (izquierda) y de columnas (derecha)

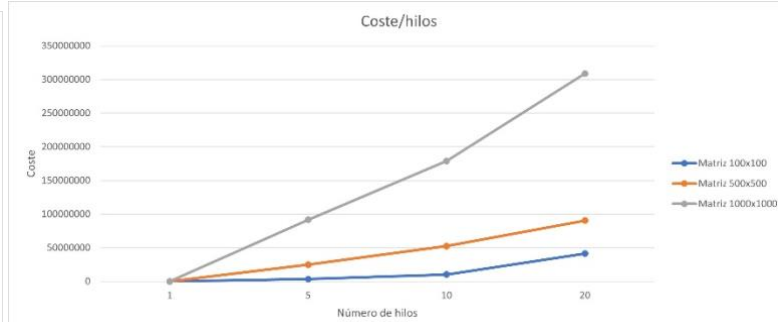
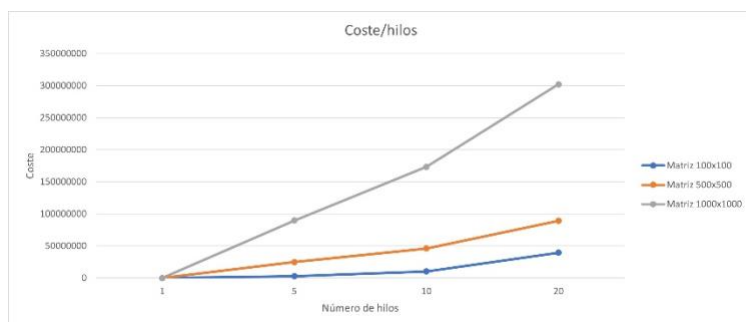


Ilustración 3: Gráfica de comparación del coste frente al número de hilos utilizados usando la división por filas (izquierda) y de columnas (derecha)

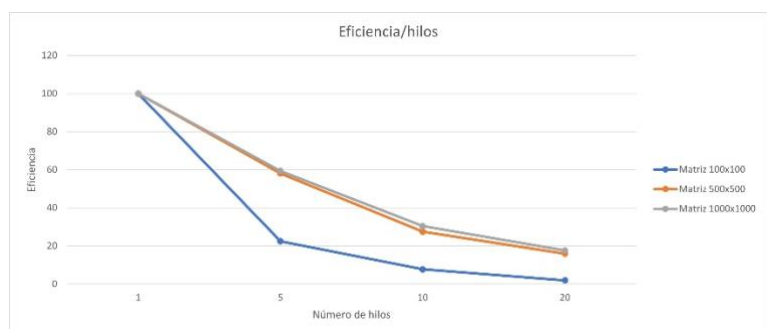
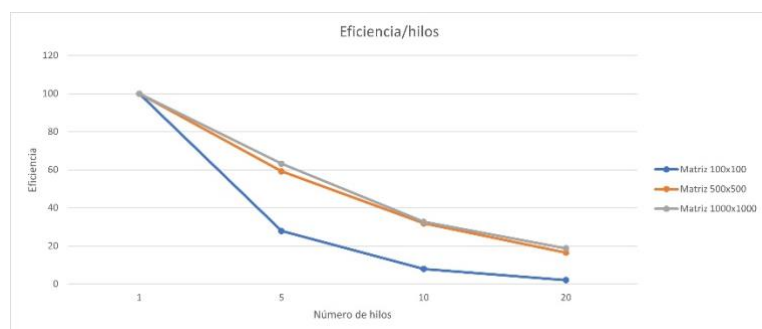


Ilustración 4: Gráfica de comparación de la eficiencia frente al número de hilos utilizados usando la división por filas (izquierda) y de columnas (derecha))

2.2. Análisis en máquina remota vdia3.fis.usal.es

Dentro del análisis realizado del programa mediante el uso de la biblioteca Pthreads se puede observar un resumen de los datos extraídos en la Tabla 3 para columnas y en la Tabla 4 para filas . En este caso se ha llevado a cabo haciendo uso del servidor vdia3.fis.usal.es del departamento de Informática y Automática de la Universidad de Salamanca.

Tabla 3: Resultados del análisis con Pthreads en máquina en remoto usando división por columnas

Nº hilos	Tamaño Matriz	Nº iteraciones	Tiempo de ejecución (ms)	Speedup	Eficiencia (%)	Coste
1	100x100	1000	1846609	1	100	0
5	100x100	1000	590163	3,14163823	62,8327645	2930
10	100x100	1000	458311	4,0372807	40,372807	4560
20	100x100	1000	616057	2,99837134	14,9918567	12280
1	500x500	1000	16529495	1	100	0
5	500x500	1000	9828764	1,68217449	33,6434898	49115
10	500x500	1000	5120697	3,23049853	32,3049853	51150
20	500x500	1000	2277269	7,26649077	36,3324538	45480
1	1000x1000	1000	60559329	1	100	0
5	1000x1000	1000	23824674	2,54225618	50,8451236	119095
10	1000x1000	1000	15990255	3,78817642	37,8817642	159850
20	1000x1000	1000	8083928	7,49337953	37,4668977	161620

Tabla 4: Resultados del análisis con Pthreads en máquina en remoto usando división por filas

Nº hilos	Tamaño Matriz	Nº iteraciones	Tiempo de ejecución (ms)	Speedup	Eficiencia (%)	Coste
1	100x100	1000	1772789	1	100	0
5	100x100	1000	507928	3,5009901	70,019802	2525
10	100x100	1000	426165	4,16981132	41,6981132	4240
20	100x100	1000	597571	2,96644295	14,8322148	11920
1	500x500	1000	16346293	1	100	0
5	500x500	1000	9506097	1,71992422	34,3984844	47505
10	500x500	1000	4797254	3,41005843	34,1005843	47920
20	500x500	1000	1987709	8,23224181	41,1612091	39700
1	1000x1000	1000	60014528	1	100	0
5	1000x1000	1000	22212445	2,70225605	54,0451209	111035
10	1000x1000	1000	15776537	3,80502188	38,0502188	157710
20	1000x1000	1000	6972590	8,61084804	43,0542402	139380

El análisis resulta análogo al realizado por columnas en la máquina local, sin embargo, podemos observar que el tiempo de cálculo, sobre todo a medida que aumenta el tamaño de

la matriz, resulta mayor para esta técnica de división por filas que aquella que dividía la matriz por columnas explicada previamente.

Existe una tendencia descendente en cada uno de los tamaños de las matrices a medida que aumenta el número de hilos. En matrices pequeñas (100x100 y 500x500) la diferencia entre 5, 10 y 20 hilos no es significativa ya que cada uno no realiza grandes tareas. No obstante, a medida que aumenta el tamaño de la matriz podemos observar que la diferencia al aumentar los hilos comienza a crecer, reduciéndose en gran medida los tiempos de cálculo empleados. Sin embargo, la diferencia entre 10 y 20 hilos (en una matriz grande como la mostrada de 1000x1000) es poco significativa siendo incluso mayor el tiempo que emplean más hilos (20) que disponiendo de menos hilos (10), en definitiva, se estabilizan los tiempos. Además, como es normal, los tiempos aumentan a medida que aumenta el tamaño de la matriz ya que se requieren más cálculos al existir más puntos. Es por ello que, como se ve en las siguientes gráficas, una disminución del tiempo de cálculo hace que aumente el speedup, disminuya la eficiencia y aumente el coste.

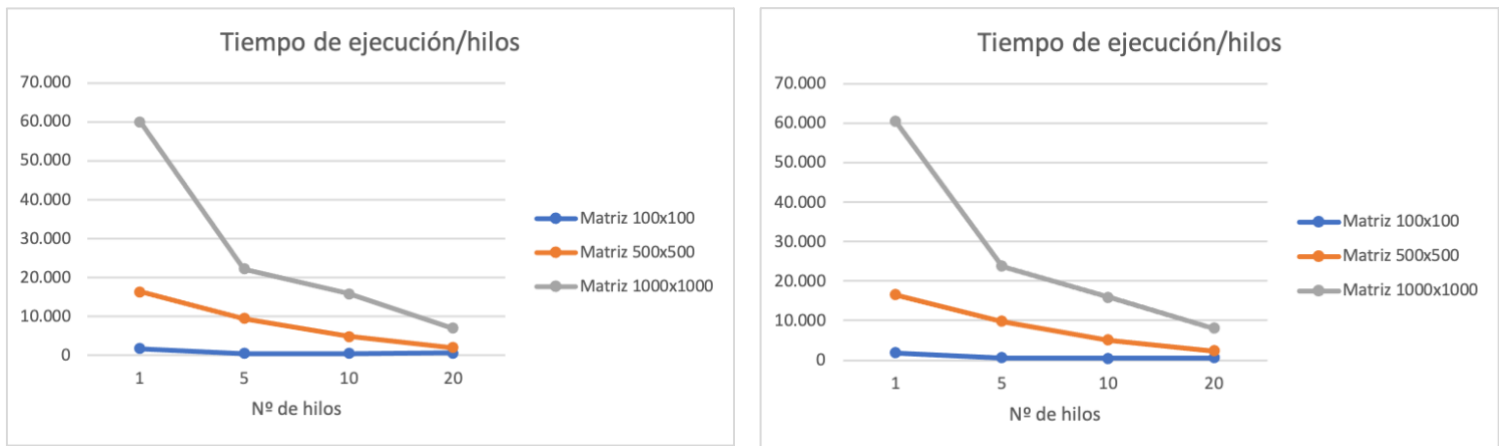


Ilustración 6: Gráfica de comparación del tiempo de ejecución del programa frente al número de hilos utilizados usando la división por filas (izquierda) y de columnas (derecha)

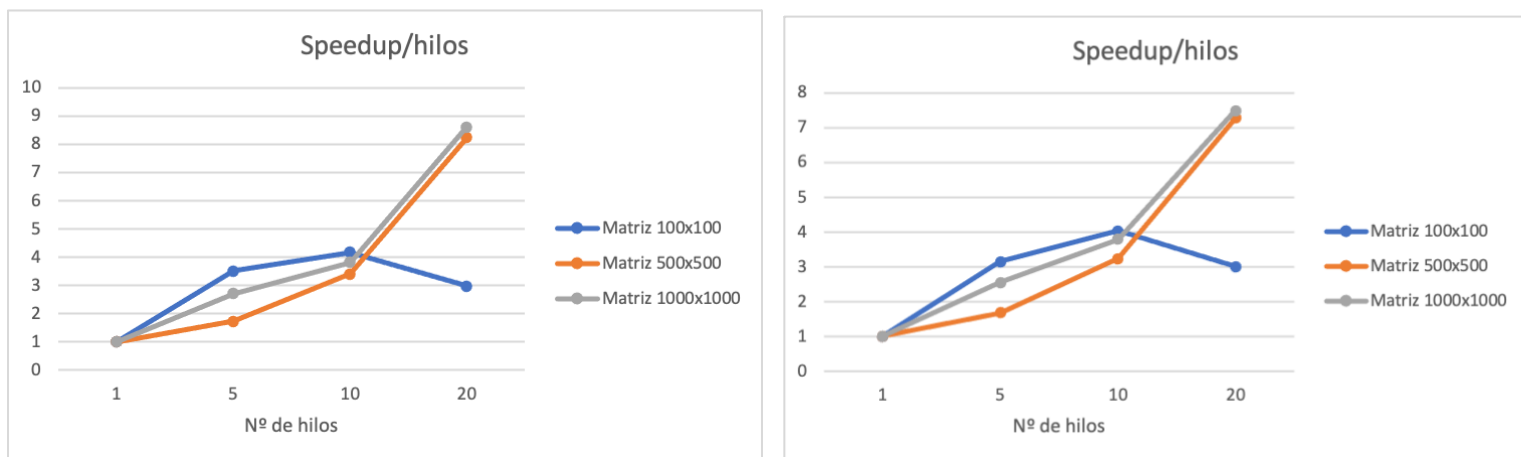


Ilustración 5: Gráfica de comparación del speedup frente al número de hilos utilizados usando la división por filas (izquierda) y de columnas (derecha)

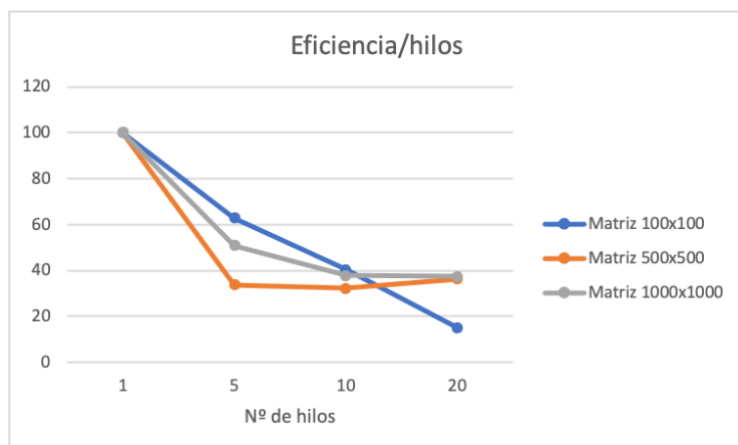
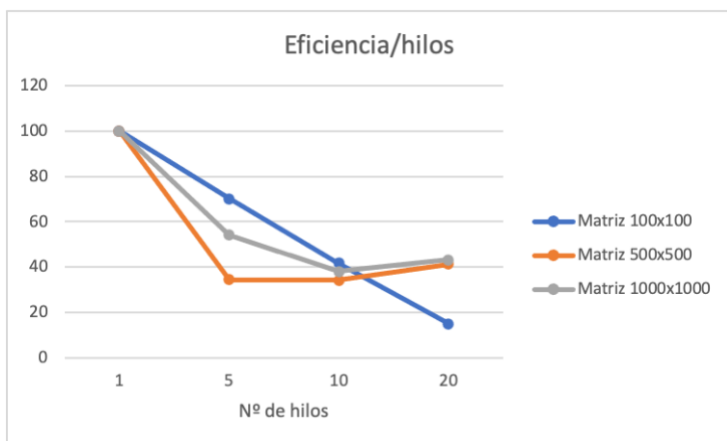


Ilustración 7: Gráfica de comparación del coste frente al número de hilos utilizados usando la división por filas (izquierda) y de columnas (derecha)

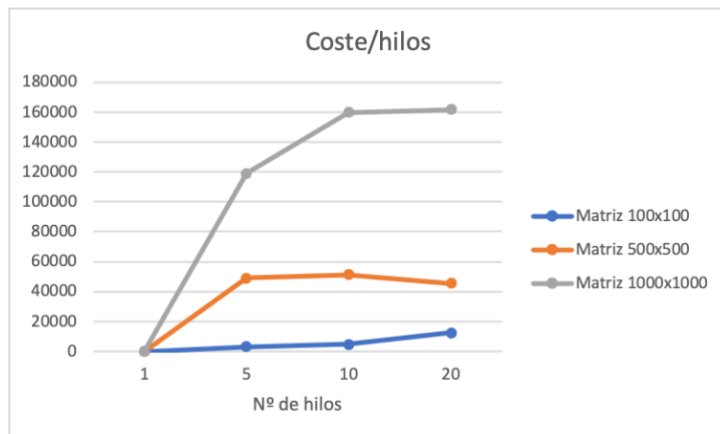
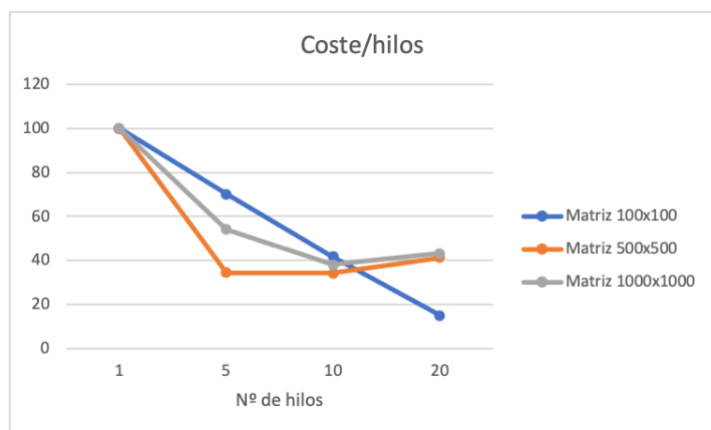


Ilustración 8: Gráfica de comparación de la eficiencia frente al número de hilos utilizados usando la división por filas (izquierda) y de columnas (derecha))

2.3. Conclusiones

En conclusión, se puede observar que , a medida que aumenta el número de procesos, disminuye el tiempo total (manteniendo el número de parámetros constantes) en ambos casos. Ya que se realiza el mismo trabajo sobre la plancha, pero de forma paralela, por tanto, cuantos más procesos trabajen sobre los puntos de cálculo de temperatura , menos carga de trabajo obtendrán sobre la matriz y antes terminarán la ejecución.

En cuanto al caso base planteado con 1, 5, 10 y 20 hilos para matrices de 100x100, 500x500 y 1000x1000, se ha analizado que, tanto para la implementación en la máquina local como en la máquina en remoto, ambas presentan valores similares comparando ambos tipos de división.

Sin embargo, se pueden denotar dos diferencias en la comparativa. Por un lado, se puede ver que, tanto en la máquina local como en la máquina en remoto, la división por filas supone valores peores en cuanto a tiempo de cálculo y de ejecución, eficiencia y coste frente a la división por columnas. Esto se debe a que el cálculo de división de la matriz en subtareas para cada uno de los hilos es mucho más rápido a la hora de compactar cuando se realiza por columnas ya que el recorrido de la matriz es menor, pues en el bucle anidado que recorre la matriz para asignar subtareas no itera sobre las filas, sólo sobre las columnas, mientras que en el caso contrario itera en ambos.

Y, por otro lado, que la máquina en tiene valores más bajos en cuanto a tiempo de cálculo y ejecución que la máquina en debido a la diferencia notable en prestaciones (CPU, número de procesadores, etc.) con los que cuenta. También cabe mencionar que el análisis del programa con Pthreads en la máquina en remoto se realizó sin ninguna otra tarea o usuario dentro del sistema que pudiera hacer que el rendimiento disminuyese, mientras que la máquina en local se realizó sobre un sistema operativo Windows con varias tareas ejecutándose en background.

3. Implementación con procesos (MPI)

3.1. Análisis en máquina local

Dentro del análisis realizado del programa mediante el uso de la biblioteca MPI se ha implementado una estrategia similar, aunque no idéntica, a la realizada en el caso del uso de la biblioteca de Pthreads. Para los datos extraídos en esta implementación no se ha hecho una propuesta de división por filas y columnas para repartir las tareas entre los procesos. En este caso se ha optado, debido a un replanteamiento del programa debido al uso de la biblioteca, por una división en submatrices, de tal manera que quedaría representado como se ve en la Ilustración 9.

Aquí se puede ver que, dado que la ventaja que dan los procesos es que no dependen del número de procesadores de la máquina en la que se ejecutan como los hilos, ya que se pueden ejecutar en varias máquinas. En este caso, la comunicación se realiza por paso de mensajes mediante llamadas a `MPI_Send` y `MPI_Recv` y, con el fin de reducirla, el reparto de las subtareas se realizará mediante un reparto cartesiano, siendo el número de filas y de columnas dos números que, multiplicados entre sí, resulte el número total de procesos ejecutándose y cuya diferencia sea la menor posible.

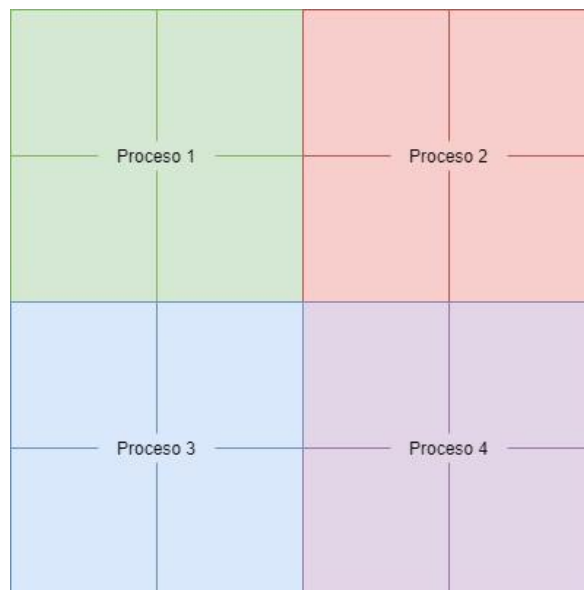


Ilustración 9: Esquema de división por submatrices en MPI con un ejemplo de una matriz de 4x4 en división para procesos en submatrices de 2x2 para 4 procesos

Debido a la limitación de procesos por parte de la versión de OpenMPI utilizada para esta práctica se ha partido del análisis de tres casos bases con 1, 2, y 3 procesos variando el tamaño de la matriz se ha llevado a cabo haciendo uso de un ordenador personal con las mismas especificaciones que el anterior. Los resultados en la máquina local se pueden observar en la Tabla 5.

Tabla 5: Resultados del análisis con MPI en máquina en local

Nº procesos	Tamaño Matriz	Nº iteraciones	Tiempo de ejecución (s)	Speedup	Eficiencia	Coste
1	100x100	1000	0,521078	1	100 %	0
2	100x100	1000	0,266421	1,95584	97,7 %	0,532842
3	100x100	1000	0,303439	1,717224	57,2 %	0,910317
4	100x100	1000	0,176422	2,95358855	73,8 %	0,705688
1	500x500	1000	13,562	1	100 %	0
2	500x500	1000	8,396	1,615293	80,7 %	16,792
3	500x500	1000	6,574	2,06297536	68,7 %	19,722
4	500x500	1000	4,05641	3,3433504	83,5 %	16,22564
1	1000x1000	1000	52,964	1	100 %	0
2	1000x1000	1000	32,802	1,61465764	80,7 %	65,604
3	1000x1000	1000	30,643	1,72842085	57,6 %	91,929
4	1000x1000	1000	16,2186	3,26563329	81,6 %	64,8744

En cuanto a la tendencia del programa, se puede denotar un análisis similar al descrito en la ejecución del programa con la biblioteca de Pthreads en la máquina local. En la que se puede observar que , tal y como ocurría en otros casos, cuanto mayor es el tamaño de la matriz mayores son los tiempos de cómputo. Además , a medida que aumentamos el número de procesos en ejecución del programa vemos como la tendencia de tiempo de ejecución es decreciente, al igual que ocurría en la implementación anterior.

Sin embargo, a diferencia de los Pthreads, a medida que aumenta el número de procesos , al hacer uso de los mecanismos de comunicación por paso de mensajes, aumentan las prestaciones ya que se requieren un número de recursos mayor, por lo que el speedup aumenta. Esto provoca que , a mayor número de procesos la eficiencia disminuya y aumente el coste computacional de cada proceso a la hora de realizar las tareas. Como se puede observar en la Ilustración 13, el coste para una matriz de 1000x1000 es mucho mayor en comparación con las matrices de 100x100 y 500x500. Esto se debe a lo explicado anteriormente.

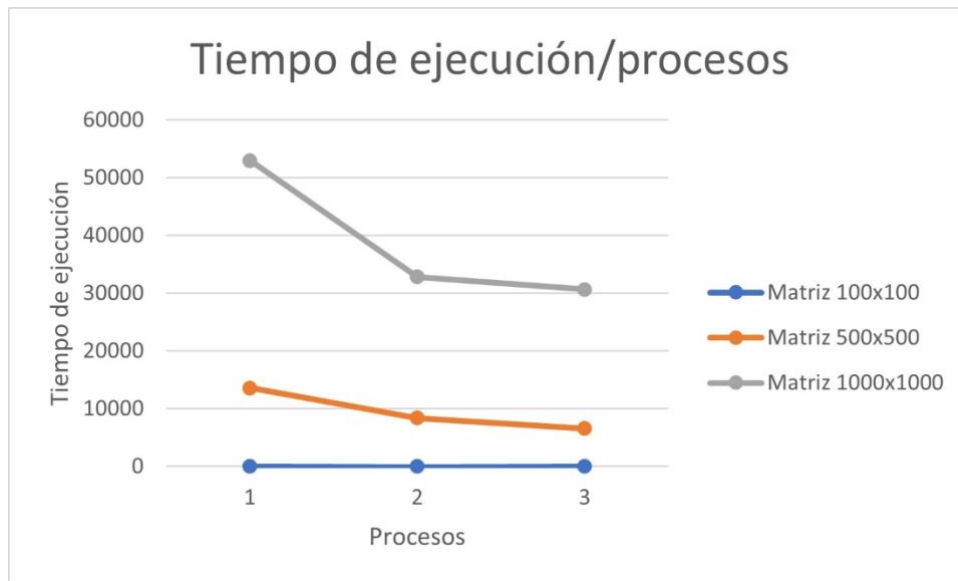


Ilustración 10: Gráfica de representación del tiempo de ejecución frente al número de procesos en la máquina local

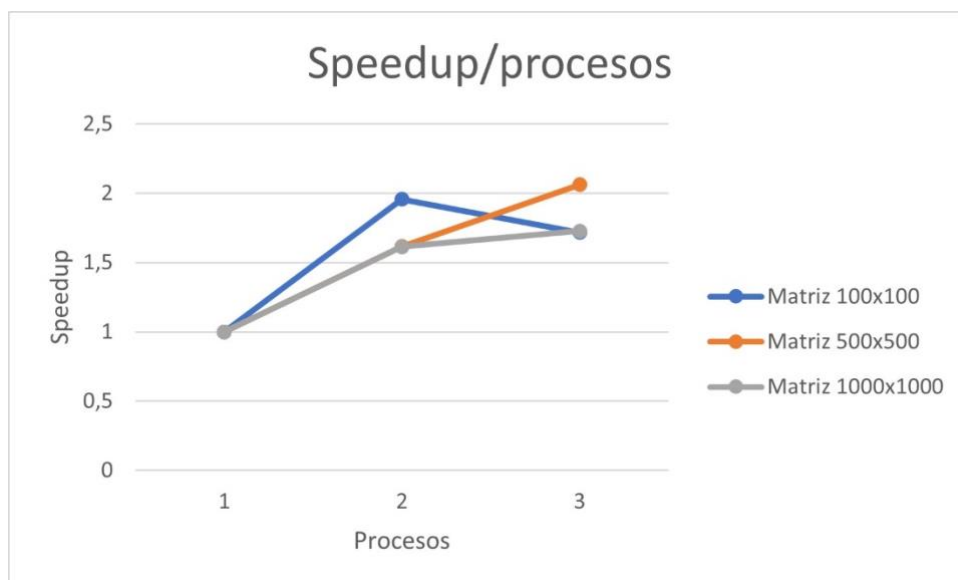


Ilustración 11: Gráfica de representación de speedup frente al número de procesos en la máquina local

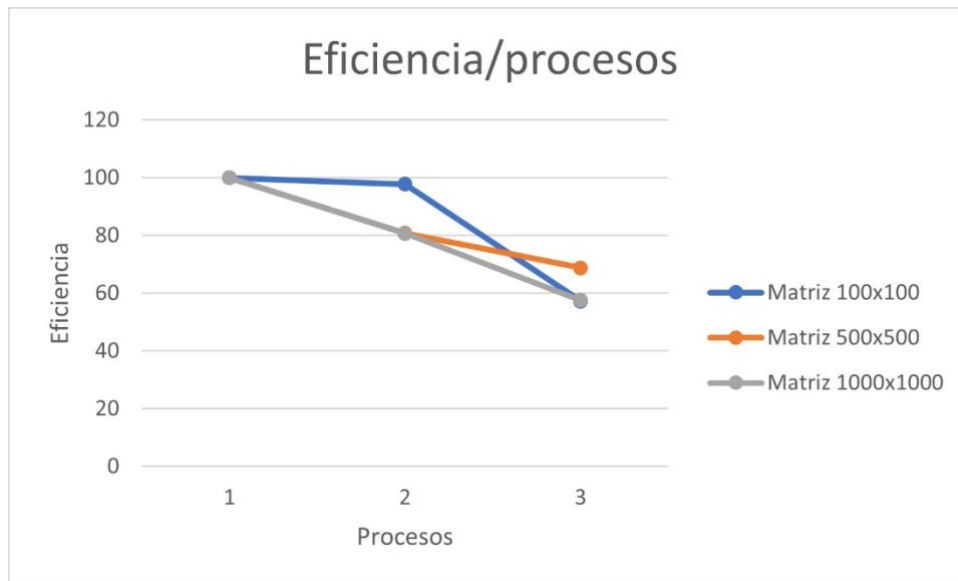


Ilustración 12: Gráfica de representación de eficiencia frente al número de procesos en la máquina local

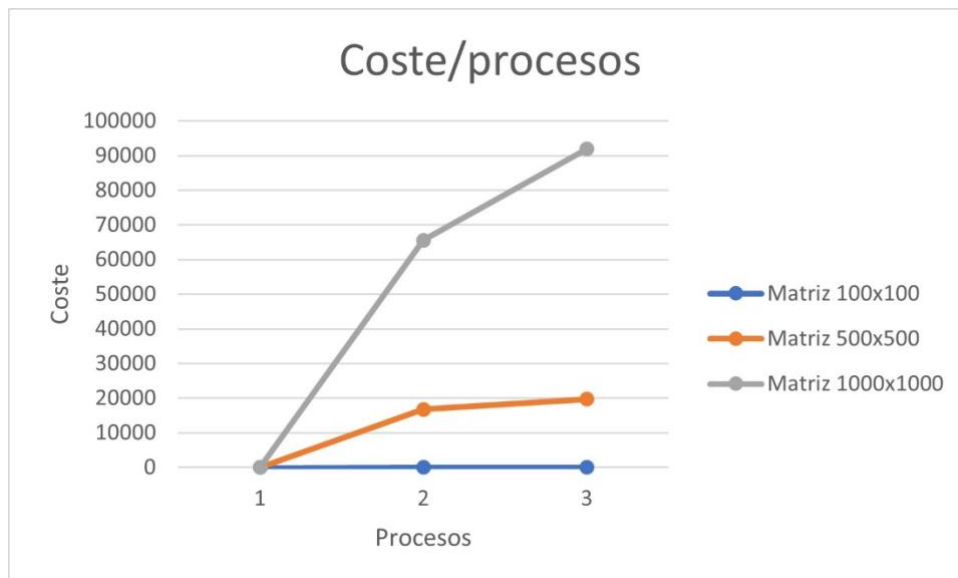


Ilustración 13: Gráfica de representación de coste frente al número de procesos en la máquina local

3.2. Análisis en máquina remota vdia3.fis.usal.es

Tabla 6: Resultados del análisis con MPI en máquina en remoto

Nº procesos	Tamaño Matriz	Nº iteraciones	Tiempo de ejecución (s)	Speedup	Eficiencia	Coste
1	100x100	1000	1,733790	1	100 %	0
2	100x100	1000	0,875482	1,980383377	99,01916887	1,750964
3	100x100	1000	0,597344	2,902498393	96,74994643	1,792032
4	100x100	1000				
1	500x500	1000	42,038900	1	100 %	0
2	500x500	1000	21,093300	1,992997777	99,64988883	42,1866
3	500x500	1000	14,380700	2,923286071	97,44286903	43,1421
4	500x500	1000				
1	1000x1000	1000	167,357000	1	100 %	0
2	1000x1000	1000	83,935800	1,993869124	99,69345619	167,8716
3	1000x1000	1000	55,976100	2,989793858	99,65979528	167,9283
4	1000x1000	1000	33,872300	4,940821851	98,81643703	169,3615

La tendencia del programa sigue una evolución similar a la analizada en el caso de uso de la biblioteca de Pthreads en el servidor como se puede observar en la Tabla 6. Tal y como ocurría en dichos casos, cuanto mayor es el tamaño de la matriz mayores son los tiempos de cómputo. Además, a medida que aumentamos el número de procesos en ejecución del programa vemos como la tendencia de tiempo de ejecución es decreciente, así, de igual modo a como ocurría en hilos, el speedup crece, decreciendo la eficiencia y aumentando el coste.

En segundo lugar, para un solo proceso se obtienen peores prestaciones que en la máquina local, pero a medida que aumentamos el nº de procesos, al disponer la máquina servidor de más núcleos, se van obteniendo mejores prestaciones que en local, más acentuadas a medida que aumenta el tamaño de la matriz sobre la que se actúa.

Finalmente, observando los datos, podemos darnos cuenta de que mediante el uso de la biblioteca de MPI se obtienen unas mejores prestaciones relativas a la obtención de un mayor speedup, una mayor eficiencia y un menor coste de computación que aquellas obtenidas mediante el uso de la biblioteca Pthreads.

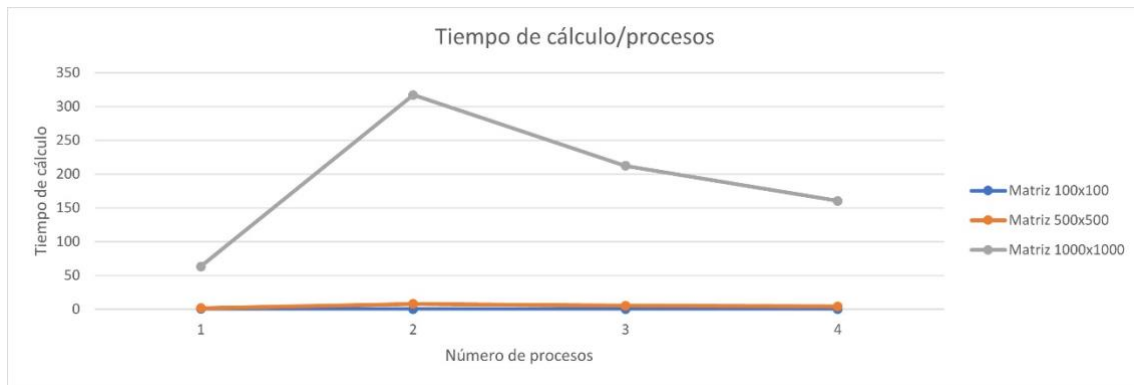


Ilustración 14: Gráfica de representación del tiempo de ejecución frente al número de procesos en la máquina remota

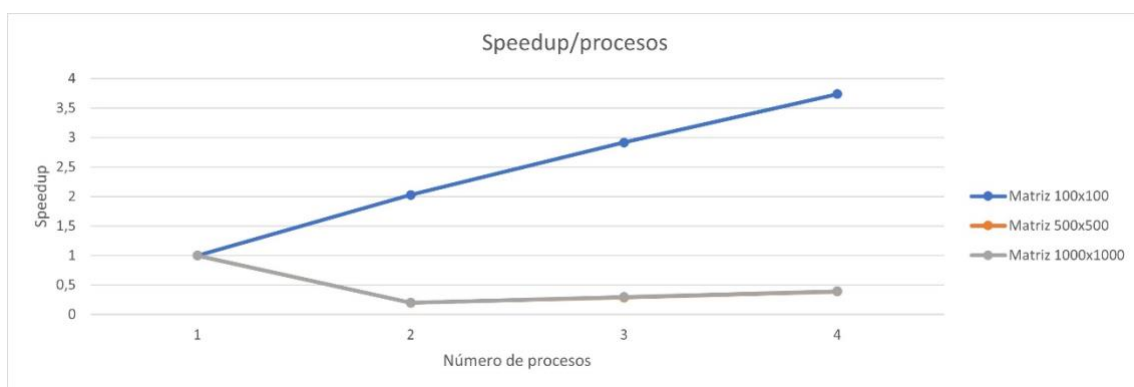


Ilustración 15: Gráfica de representación del speedup frente al número de procesos en la máquina remota

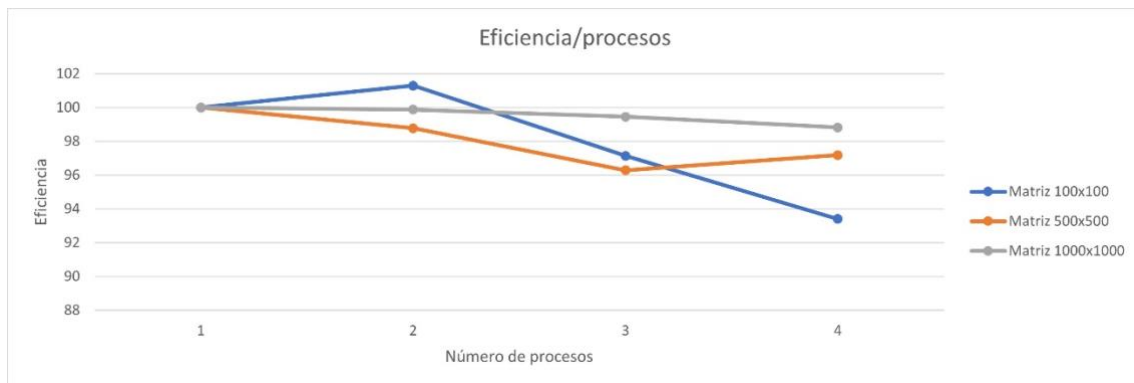


Ilustración 16: Gráfica de representación de la eficiencia frente al número de procesos en la máquina remota

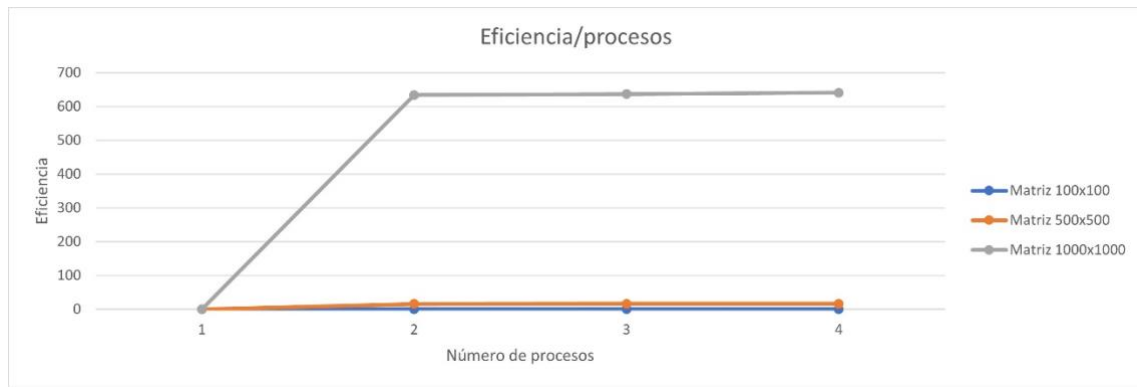


Ilustración 17: Gráfica de representación del coste frente al número de procesos en la máquina remota

3.3. Conclusiones

Tal y como se puede observar en los análisis previos, el uso de la paralelización para la resolución del problema del cálculo de la temperatura haciendo uso de la biblioteca MPI supone un consumo de tiempo menor para los procesos en la realización de las tareas, suponiendo en este caso una mejora frente al tiempo que consumían los hilos haciendo uso de la biblioteca Pthreads.

Sin embargo, y aunque los rangos de eficiencia son mayores que los de Pthreads y los de coste son menores, el uso de esta biblioteca se ve afectado en el uso de la comunicación del paso por mensajes, que supone un impacto en rendimiento debido a un aumento del speedup y a una ligera disminución en eficiencia, debido a que los procesos consumen parte del tiempo en realizar tareas de comunicación como en realizar las tareas propias del algoritmo.

En conclusión, y haciendo alusión a lo mencionado en la introducción del análisis, el uso de MPI supone una cierta ventaja frente a Pthreads y es la que dan los procesos al no depender del número de procesadores de la máquina en la que se ejecutan, como sí ocurre con los hilos, ya que se pueden ejecutar en varias máquinas, reduciendo el tiempo de ejecución y aumentando la eficiencia y reduciendo coste computacional para cada proceso.

4. Implementación con hilos (OpenMP)

4.1. Análisis en máquina local

Dentro del análisis realizado del programa mediante el uso de la biblioteca MPI se ha implementado la misma estrategia planteada con Pthreads en la que los hilos harán un barrido por filas y columnas de la matriz que conforma la plancha de temperaturas. En este caso, un resumen de los datos sacados para 1,5,10 y 20 hilos para matrices de 100x100, 500x500 y 1000x1000 se puede observar en las tablas Tabla 7 para columnas y Tabla 8 para filas.

Tabla 7: Resultados del análisis con OpenMP en máquina en local usando división por columnas

Nº hilos	Tamaño Matriz	Nº iteraciones	Tiempo de ejecución (s)	Speedup	Eficiencia (%)	Coste
1	100x100	1000	682965	1	100	0
5	100x100	1000	350035	1,23596794	100	681393
10	100x100	1000	384497	1,95113346	39,0226692	1750175
20	100x100	1000	402849	2,83883451	36,7766902	1852785
1	500x500	1000	15201401	1	100	0
5	500x500	1000	4662672	3,22456035	78,3058503	15474994
10	500x500	1000	4398991	3,26023383	65,2046766	23313360
20	500x500	1000	4780752	3,27852957	65,5705915	23600510
1	1000x1000	1000	52067910	1	100	0
5	1000x1000	1000	16375253	3,15938069	75,3058503	51638595
10	1000x1000	1000	14748542	3,17967057	63,5934114	81876265
20	1000x1000	1000	13008091	3,19367895	63,8735791	80845000

Tabla 8: Resultados del análisis con OpenMP en máquina en local usando división por filas

Nº hilos	Tamaño Matriz	Nº iteraciones	Tiempo de ejecución (s)	Speedup	Eficiencia	Coste
1	100x100	1000	681393	1	100	0
5	100x100	1000	370557	1,83883451	36,7766902	1852785
10	100x100	1000	387842	1,75688296	17,5688296	3878420
20	100x100	1000	369100	1,8460932	9,230466	7382000
1	500x500	1000	15474994	1	100	0
5	500x500	1000	4720102	3,65874651	73,1749302	23600510
10	500x500	1000	4229589	3,17970918	31,7970918	42295890
20	500x500	1000	3724288	4,15515503	20,7757751	74485760
1	1000x1000	1000	51638595	1	100	0
5	1000x1000	1000	16169000	3,19367895	63,8735791	80845000
10	1000x1000	1000	14353579	3,59761109	35,9761109	143535790

20	1000x1000	1000	12537212	4,11882602	20,5941301	250744240
----	-----------	------	----------	------------	------------	-----------

Finalmente, observando los datos de ambas tablas, a continuación, se mostrarán una comparativa de las estrategias de filas y columnas de cara los análisis anteriormente planteados. En estas podemos observar que, al igual que ocurría en Pthreads, la estrategia de resolución por filas es ligeramente mejor en cuanto a tiempo de ejecución, speedup, eficiencia y coste frente al recorrido por columnas.



Ilustración 19: Gráfica de comparación del tiempo de ejecución del programa frente al número de hilos utilizados usando la división por filas (izquierda) y de columnas (derecha)

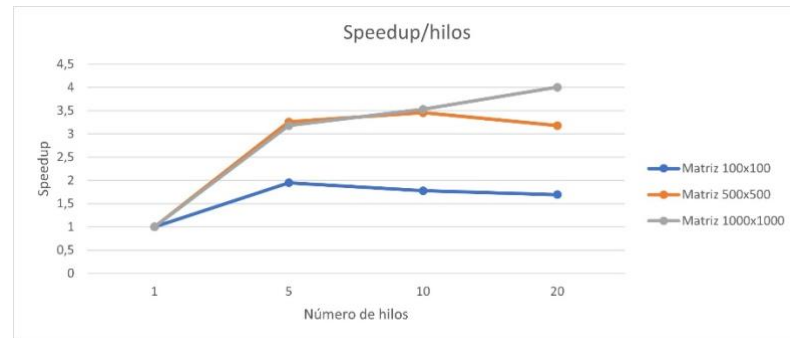
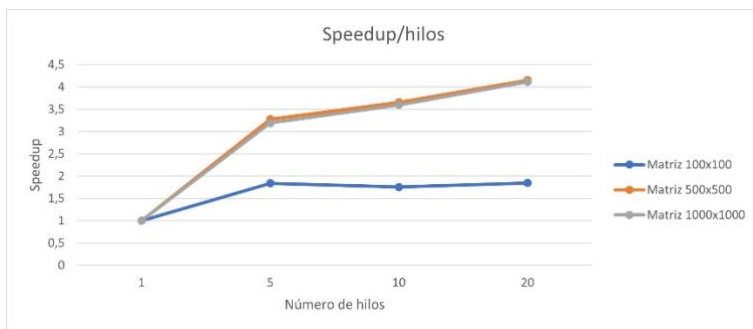


Ilustración 18: Gráfica de comparación del speedup del programa frente al número de hilos utilizados usando la división por filas (izquierda) y de columnas (derecha)

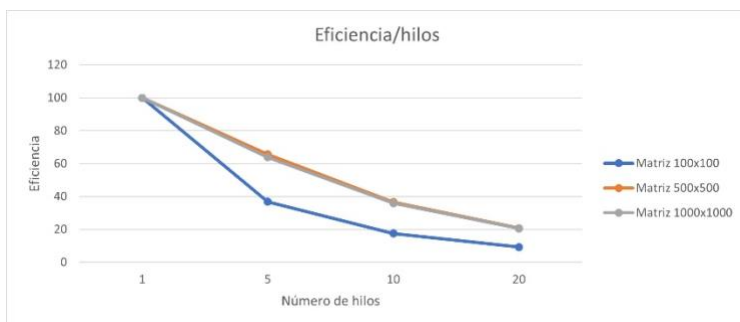


Ilustración 20: Gráfica de comparación de la eficiencia del programa frente al número de hilos utilizados usando la división por filas (izquierda) y de columnas (derecha)



Ilustración 21: Gráfica de comparación del tiempo del coste del programa frente al número de hilos utilizados usando la división por filas (izquierda) y de columnas (derecha)

4.2. Análisis en máquina remota vdia3.fis.usal.es

Tabla 10: Resultados del análisis con OpenMP en máquina en remoto usando división por columnas

Nº hilos	Tamaño Matriz	Nº iteraciones	Tiempo de ejecución (s)	Speedup	Eficiencia	Coste
1	100x100	1000	619143	1	100	0
5	100x100	1000	233446	2,6637101	53,274202	1159565
10	100x100	1000	190058	3,27770467	32,7770467	1884700
20	100x100	1000	167480	3,73804308	18,6902154	3305200
1	500x500	1000	15187100	1	100	0
5	500x500	1000	3594479	4,22668704	84,5337408	17963775
10	500x500	1000	2138091	7,10829518	71,0829518	21363000
20	500x500	1000	1354927	11,2229438	56,114719	27061440
1	1000x1000	1000	60719271	1	100	0
5	1000x1000	1000	13914417	4,36420567	87,2841134	69563195
10	1000x1000	1000	7593652	7,99771361	79,9771361	75918720
20	1000x1000	1000	4220624	14,3921059	71,9605297	84376280

Tabla 11: Resultados del análisis con OpenMP en máquina en remoto usando división por filas

Nº hilos	Tamaño Matriz	Nº iteraciones	Tiempo de ejecución (s)	Speedup	Eficiencia	Coste
1	100x100	1000	614015	1	100	0
5	100x100	1000	149238	4,14792623	82,9585246	738510
10	100x100	1000	96897	6,42258704	64,2258704	953910
20	100x100	1000	75788	8,31341339	41,567067	1473900
1	500x500	1000	15190494	1	100	0
5	500x500	1000	3280862	4,63198013	92,6396026	16395650
10	500x500	1000	1740519	8,73580972	87,3580972	17386900
20	500x500	1000	990494	15,3632844	76,8164218	19772940
1	1000x1000	1000	62957171	1	100	0
5	1000x1000	1000	13021669	4,83531651	96,7063302	65099695
10	1000x1000	1000	6744998	9,3361319	93,361319	67432130
20	1000x1000	1000	3469460	18,1548259	90,7741294	69354040

La tendencia del programa, a partir de lo que se puede comprobar en las tablas Tabla 10 y en la Tabla 11, sigue una evolución similar a la analizada en el caso de uso de la biblioteca de Pthreads en el servidor. Tal y como ocurría en dichos casos, cuanto mayor es el tamaño de la matriz mayores son los tiempos de cómputo. Además, a medida que aumentamos el número de procesos en ejecución del programa vemos como la tendencia de tiempo de ejecución es

decreciente, así, de igual modo a como ocurría en hilos, el speedup crece, decreciendo la eficiencia y aumentando el coste.

En segundo lugar, para un solo proceso se obtienen peores prestaciones que en la máquina local, pero a medida que aumentamos el nº de procesos, al disponer la máquina servidor de más núcleos, se van obteniendo mejores prestaciones que en local, más acentuadas a medida que aumenta el tamaño de la matriz sobre la que se actúa.

Finalmente, observando los datos representados en las Ilustraciones a continuación, podemos darnos cuenta de que mediante el uso de la biblioteca de OpenMP se obtienen unas mejores prestaciones relativas a la obtención de un mayor speedup, una mayor eficiencia y un menor coste de computación que aquellas obtenidas mediante el uso de la biblioteca Pthreads.

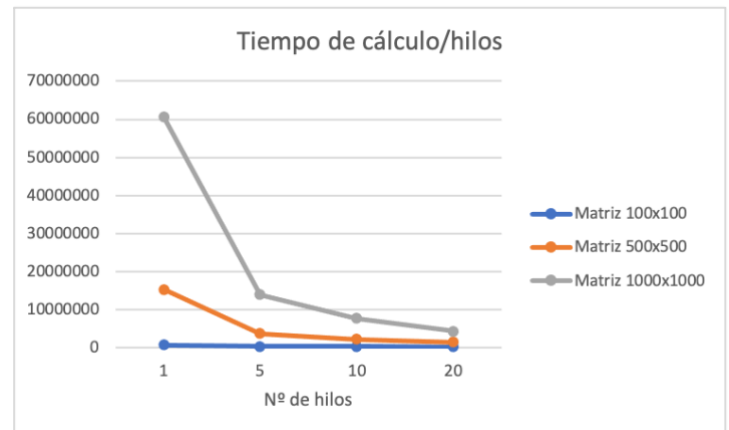
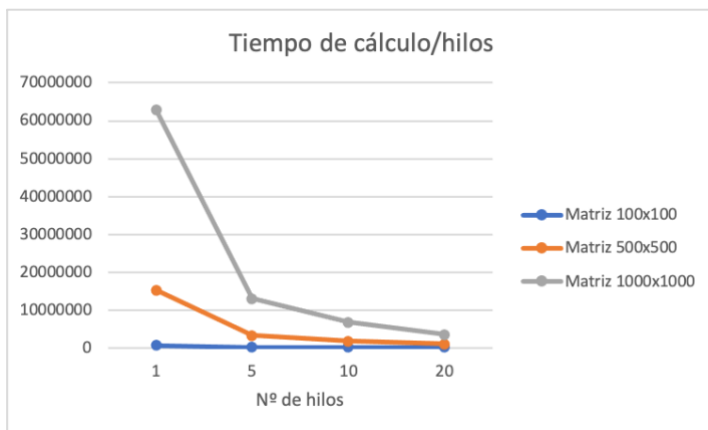


Ilustración 22: Gráfica de comparación del tiempo de ejecución del programa frente al número de hilos utilizados usando la división por filas (izquierda) y de columnas (derecha) de la máquina en remoto para OpenMP

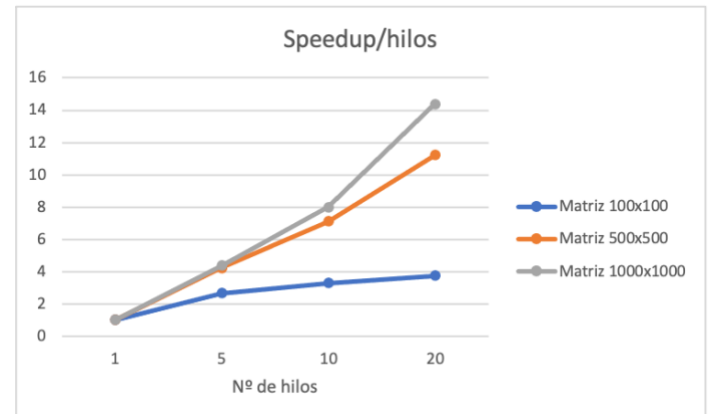


Ilustración 23: Gráfica de comparación del speedup del programa frente al número de hilos utilizados usando la división por filas (izquierda) y de columnas (derecha) de la máquina en remoto para OpenMP

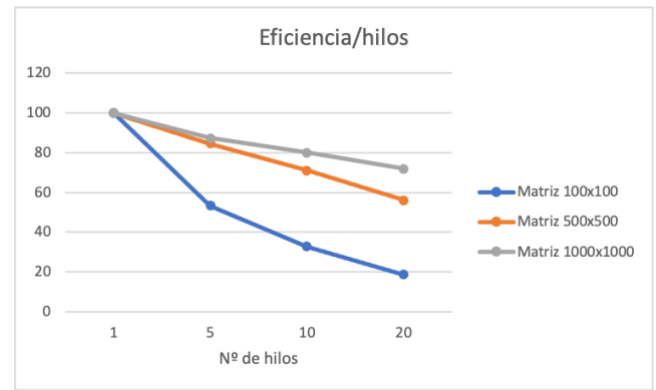
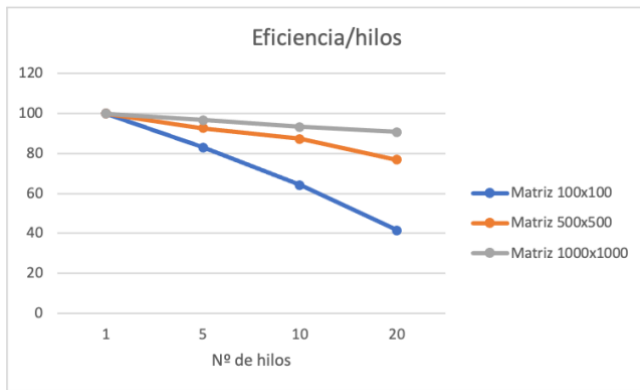


Ilustración 24: Gráfica de comparación de la eficiencia del programa frente al número de hilos utilizados usando la división por filas (izquierda) y de columnas (derecha) de la máquina en remoto para OpenMP

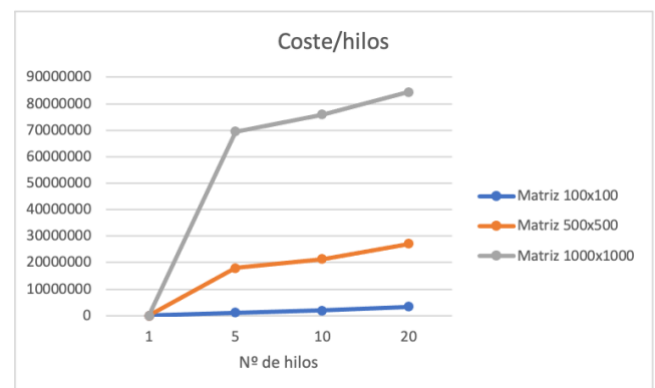
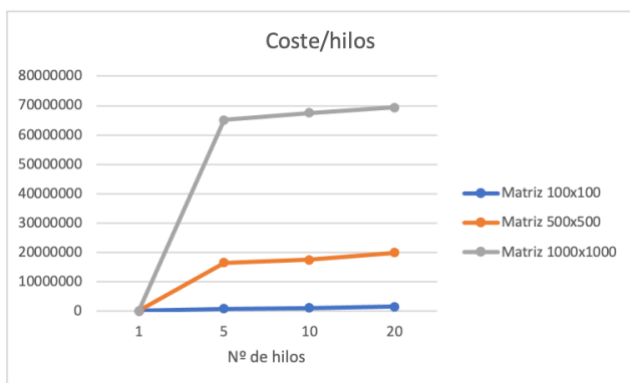


Ilustración 25: Gráfica de comparación del coste del programa frente al número de hilos utilizados usando la división por filas (izquierda) y de columnas (derecha) de la máquina en remoto para OpenMP

4.3. Conclusiones

Tal y como se ha ido observando a lo largo de la explicación y desarrollo de la solución mediante OpenMP, el planteamiento del ejercicio con esta herramienta supone una pequeña ventaja frente al uso de la biblioteca Pthreads, aunque siempre dependiendo de las prestaciones de la máquina en la que nos encontremos.

Esta pequeña mejoría se puede asimilar en el hecho de que, aunque los rangos de tiempo son similares, el speedup es mayor con el mismo número de procesos, la eficiencia es mayor (lo que indica que los hilos se encuentran trabajando en los cálculos y en realizar tareas útiles más tiempo) y el coste de computación es similar, por lo que se justifica con los valores de eficiencia y speedup que el uso de OpenMP es una ventaja , aunque leve, del uso de la biblioteca Pthreads.

5. Implementación híbrida con hilos y procesos (OpenMP + MPI)

5.1. Análisis en máquina local

Tabla 12: Resultados del análisis con OpenMP + MPI en máquina local usando 1 proceso

Nº pro ceso s	Nº hilos	Tamaño Matriz	Nº ite ra cione s	Tiempo de ejecución (s)	Speedup	Eficiencia	Coste
1	1	100x100	1000	0,65	1	100	0
1	10	100x100	1000	0,26	2,50602335	83,5341117	0,776229
1	20	100x100	1000	0,24	2,67178705	66,7946763	0,97076
1	1	500x500	1000	157,12	1	100	0
1	10	500x500	1000	684,82	0,22942659	7,64755302	2054,448
1	20	500x500	1000	541,36	0,29022438	7,25560951	2165,428
1	1	1000x1000	1000	649,12	1	100	0
1	10	1000x1000	1000	274,71	2,36290601	78,7635338	824,139
1	20	1000x1000	1000	217,76	2,98091468	74,522867	871,036

Tabla 13: Resultados del análisis con OpenMP + MPI en máquina local usando 2 procesos

Nº pro ceso s	Nº hilos	Tamaño Matriz	Nº ite ra cione s	Tiempo de ejecución (s)	Speedup	Eficiencia	Coste
2	1	100x100	1000	0,33	1	100	0
2	10	100x100	1000	0,21	1,55181949	51,7273164	0,631413
2	20	100x100	1000	0,23	1,42217123	35,5542807	0,918632
2	1	500x500	1000	988,49	1	100	0
2	10	500x500	1000	595,08	1,66110829	55,3702764	1785,234
2	20	500x500	1000	514,95	1,91958621	47,9896553	2059,796
2	1	1000x1000	1000	385,18	1	100	0
2	10	1000x1000	1000	219,80	1,75239421	58,4131404	659,403
1	20	1000x1000	1000	196,58	1,95940563	48,9851408	786,316

Tabla 14: Resultados del análisis con OpenMP + MPI en máquina local usando 3 procesos

Nº pro ceso s	Nº hilos	Tamaño Matriz	Nº ite ra cione s	Tiempo de ejecución (s)	Speedup	Eficiencia	Coste
3	1	100x100	1000	0,30	1	100	0

3	10	100x100	1000	151,16	0,00196229	0,06540975	453,492
3	20	100x100	1000	244,58	0,00121282	0,03032039	978,312
3	1	500x500	1000	706,26	1	100	0
3	10	500x500	1000	309,95	2,27862003	75,954001	929,847
3	20	500x500	1000	283,90	2,48771037	62,1927594	1135,592
3	1	1000x1000	1000	275,04	1	100	0
3	10	1000x1000	1000	40,24	6,8353754	227,845847	120,711
3	20	1000x1000	1000	420,15	0,65460833	16,3652083	1680,608

Tabla 15: Resultados del análisis con OpenMP + MPI en máquina local usando 4 procesos

Nº pro ceso s	Nº hilos	Tamaño Matriz	Nº ite ra cione s	Tiempo de ejecución (s)	Speedup	Eficiencia	Coste
4	1	100x100	1000	0,27	1	100	0
4	10	100x100	1000	132,16	0,00201665	0,06722153	396,492
4	20	100x100	1000	2445,78	0,00010897	0,00272437	9783,12
4	1	500x500	1000	706,26	1	100	0
4	10	500x500	1000	289,95	2,43579388	81,1931294	869,847
4	20	500x500	1000	263,90	2,67624613	66,9061531	1055,592
4	1	1000x1000	1000	255,04	1	100	0
4	10	1000x1000	1000	40,24	6,33832045	211,277348	120,711
4	20	1000x1000	1000	399,02	0,63916111	15,9790279	1596,0608

En este apartado, tal y como se puede deducir a partir de los datos de las Tablas 12-15 y de las Ilustraciones 26-29 el tiempo de ejecución es significativamente inferior a los obtenidos con OpenMP y con las anteriores bibliotecas utilizadas.

Aunque se puede observar una disminución de los valores de speedup en casi la mitad y unos valores de eficiencia similares a los que utilizan OpenMP y MPI por separado. El motivo por el que se ha producido unos valores menores de speedup con respecto a OpenMP es debido, principalmente, al uso combinado con MPI que requiere de gran cantidad de tiempo de ejecución para el envío de mensajes entre procesos. Y, aunque el uso de varios hilos por proceso logra que el tiempo dedicado al envío de mensajes se reduzca sigue existiendo un cuello de botella en este aspecto, el cual perjudica al rendimiento del programa.

En cuanto al coste, este aumenta con el tamaño del problema y el número de hilos utilizados por proceso, al igual que ocurría en apartados anteriores.

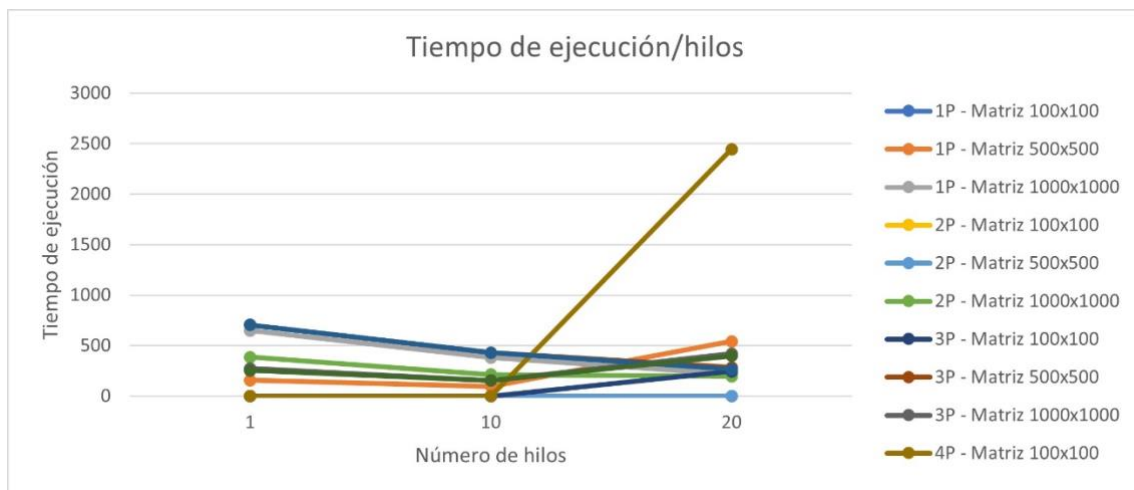


Ilustración 26: Gráfica de comparación del tiempo de ejecución del programa frente al número de hilos utilizados en función del número de procesos de la máquina en local para el híbrido entre OpenMP y MPI

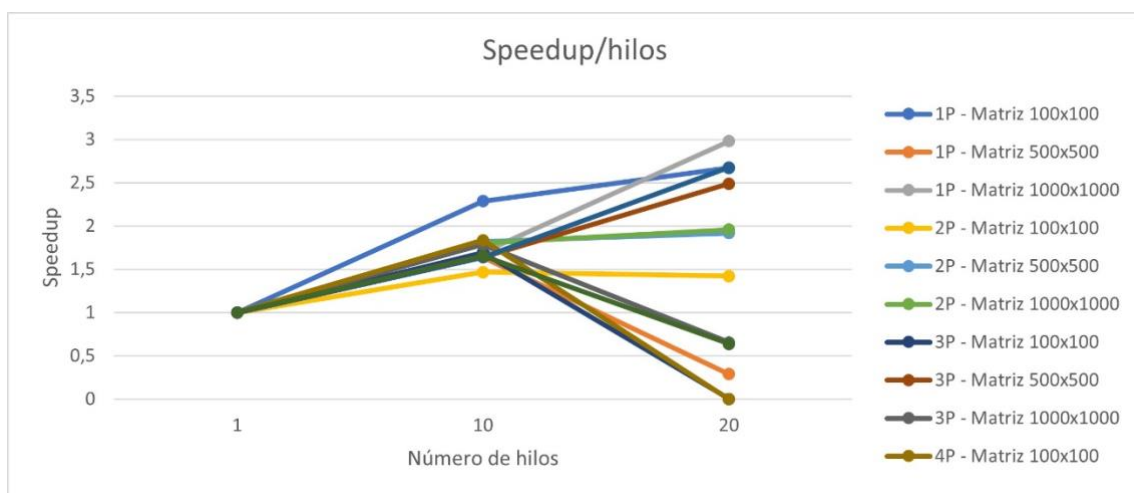


Ilustración 27: Gráfica de comparación del speedup del programa frente al número de hilos utilizados en función del número de procesos de la máquina en local para el híbrido entre OpenMP y MPI

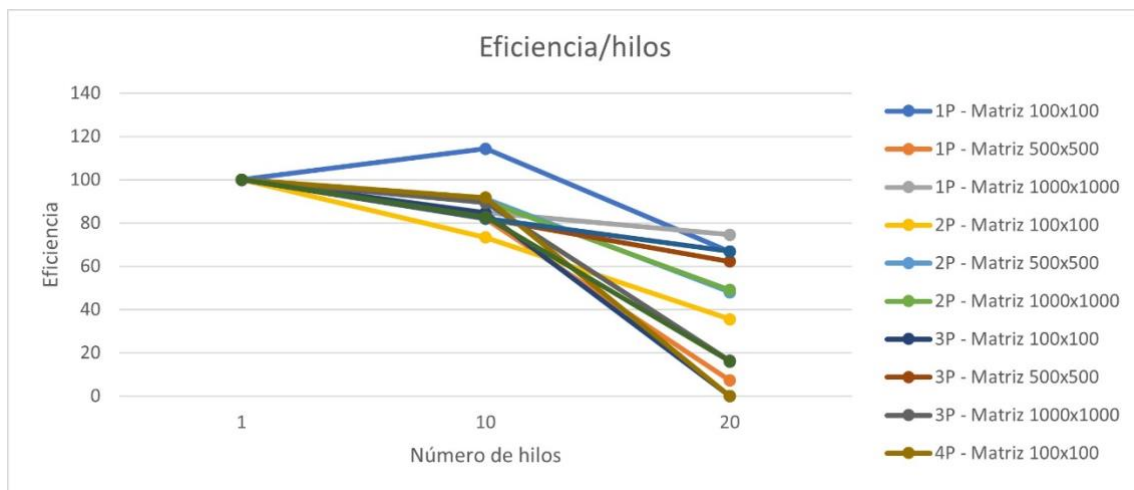


Ilustración 28: Gráfica de comparación de la eficiencia del programa frente al número de hilos utilizados en función del número de procesos de la máquina en local para el híbrido entre OpenMP y MPI

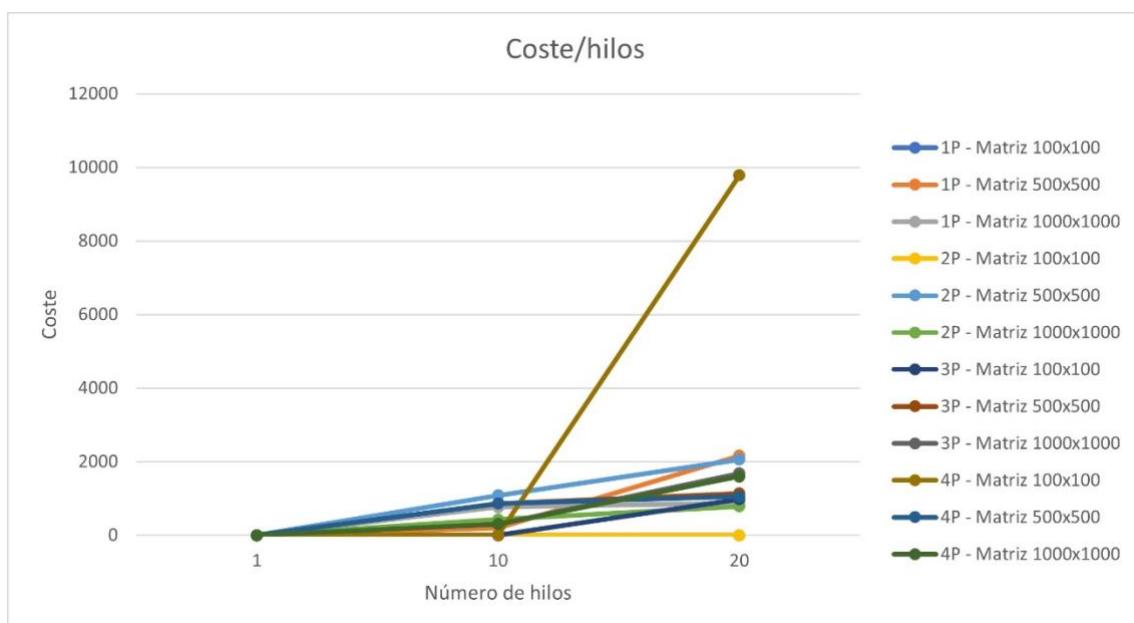


Ilustración 29: Gráfica de comparación del coste del programa frente al número de hilos utilizados en función del número de procesos de la máquina en local para el híbrido entre OpenMP y MPI

5.2. Análisis en máquina remota vdia3.fis.usal.es

Tabla 16: Resultados del análisis con OpenMP + MPI en máquina en remoto usando 1 proceso

Nº pro ceso s	Nº hilos	Tamaño Matriz	Nº itera cione s	Tiempo de ejecución (s)	Speedup	Eficiencia	Coste
1	1	100x100	1000	0,667421	1	100	0
1	10	100x100	1000	0,567421	2,91457137	29,1457137	5,67421
1	20	100x100	1000	0,613419	2,69601855	13,4800927	12,26838
1	1	500x500	1000	15,7692	1	100	0
1	10	500x500	1000	13,4205	1,17500838	11,7500838	134,205
1	20	500x500	1000	13,8118	1,1417194	5,708597	276,236
1	1	1000x1000	1000	63,0894	1	100	0
1	10	1000x1000	1000	53,8155	1,17232768	11,7232768	538,155
1	20	1000x1000	1000	54,6913	1,15355459	5,76777294	1093,826

Tabla 17: Resultados del análisis con OpenMP + MPI en máquina en remoto usando 2 procesos

Nº pro ceso s	Nº hilos	Tamaño Matriz	Nº itera cione s	Tiempo de ejecución (s)	Speedup	Eficiencia	Coste
2	1	100x100	1000	0,324879	1	100	0
2	10	100x100	1000	0,311984	1,04133225	5,20666124	6,23968
2	20	100x100	1000	0,355724	0,91328952	2,28322379	14,22896
2	1	500x500	1000	7,94457	1	100	0
2	10	500x500	1000	6,87553	1,15548474	5,7774237	137,5106
2	20	500x500	1000	7,0395	1,12857021	2,82142553	281,58
2	1	1000x1000	1000	31,7513	1	100	0
2	10	1000x1000	1000	27,4119	1,15830351	5,79151755	548,238
2	20	1000x1000	1000	27,8381	1,14056994	2,85142485	1113,524

Tabla 18: Resultados del análisis con OpenMP + MPI en máquina en remoto usando 3 procesos

Nº proce sos	Nº hilos	Tamaño Matriz	Nº itera ciones	Tiempo de ejecución (s)	Speedup	Eficiencia	Coste
3	1	100x100	1000	0,22702	1	100	0
3	10	100x100	1000	0,082166	2,76294331	9,20981103	2,46498
3	20	100x100	1000	14,7017	0,01544175	0,02573625	882,102
3	1	500x500	1000	5,33443	1	100	0

3	10	500x500	1000	1,15068	4,63589356	15,4529785	34,5204
3	20	500x500	1000	13,6735	0,39012908	0,65021514	820,41
3	1	1000x1000	1000	21,2102	1	100	0
3	10	1000x1000	1000	4,23996	5,00245285	16,6748428	127,1988
3	20	1000x1000	1000	17,9342	1,18266775	1,97111292	1076,052

Tabla 19: Resultados del análisis con OpenMP + MPI en máquina en remoto usando 4 procesos

Nº procesos	Nº hilos	Tamaño Matriz	Nº iteraciones	Tiempo de ejecución (s)	Speedup	Eficiencia	Coste
4	1	100x100	1000	0,12507	1	100	0
4	10	100x100	1000	0,057106	2,19013764	21,9013764	0,57106
4	20	100x100	1000	10,7517	0,01163258	0,0581629	215,034
4	1	500x500	1000	4,4443	1	100	0
4	10	500x500	1000	0,556988	7,97916652	79,7916652	5,56988
4	20	500x500	1000	11,2335	0,39562914	1,97814572	224,67
4	1	1000x1000	1000	19,2302	1	100	0
4	10	1000x1000	1000	2,05802	9,3440297	93,440297	20,5802
4	20	1000x1000	1000	15,9992	1,2019476	6,00973799	319,984

En cuanto al uso del servidor remoto habilitado para realizar las pruebas, el programa utilizando la solución híbrida y observando los datos proporcionados en las Tablas 16-19 y de las Ilustraciones 30-33, el tiempo de ejecución es menor que el proporcionado en la máquina en local.

Esto es debido a que, para la máquina en local se ha utilizado una máquina virtual del sistema operativo Debian para las pruebas simulando una máquina nativa con este sistema operativo y esto puede haber afectado, en gran medida, a la ejecución del programa y la representación de los valores.

Y es por ello por lo que, el servidor, al tratarse de una máquina con el sistema operativo nativo representa valores que se adecúan más a la realidad.

Se puede observar, además, que, ante un aumento del número de procesos por máquina, a medida que aumentan el número de hilos por proceso (y al igual que ocurría en el análisis de la máquina local) se observa una reducción del tiempo de ejecución hasta que con 3-4 procesos el tiempo de ejecución se estabiliza y se muestran valores muy similares.

De forma análoga ocurre con los valores de speedup, eficiencia y coste, en los que los valores son similares con 1-2 procesos. Pero a partir de los 3-4 procesos los valores se estabilizan dentro de la misma franja, independientemente del número de hilos que se crean por proceso.

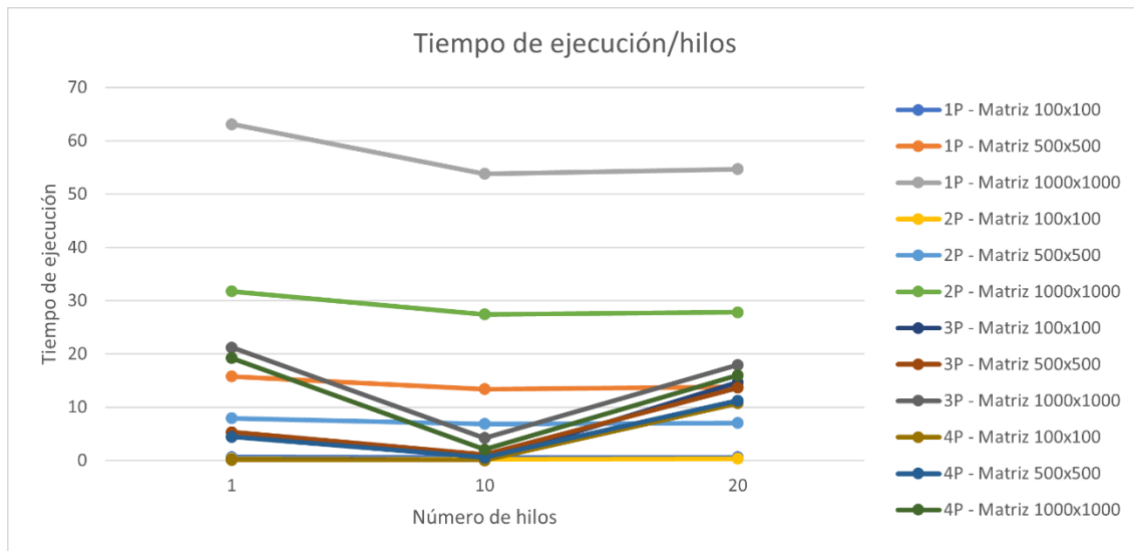


Ilustración 30: Gráfica de comparación del tiempo de ejecución del programa frente al número de hilos utilizados en función del número de procesos de la máquina en remoto para el híbrido entre OpenMP y MPI

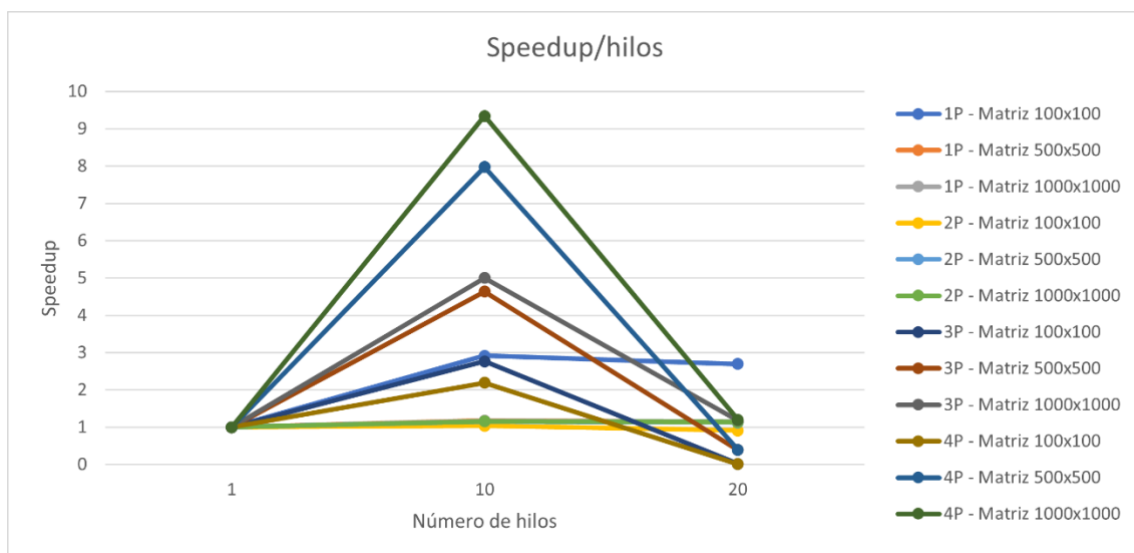


Ilustración 31: Gráfica de comparación del speedup del programa frente al número de hilos utilizados en función del número de procesos de la máquina en remoto para el híbrido entre OpenMP y MPI

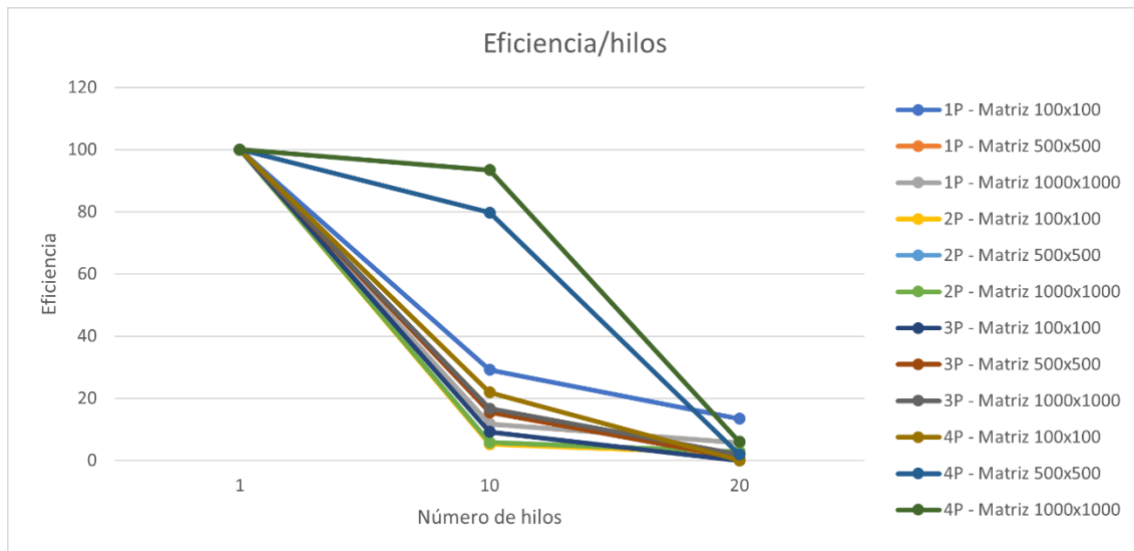


Ilustración 32: Gráfica de comparación de la eficiencia del programa frente al número de hilos utilizados en función del número de procesos de la máquina en remoto para el híbrido entre OpenMP y MPI

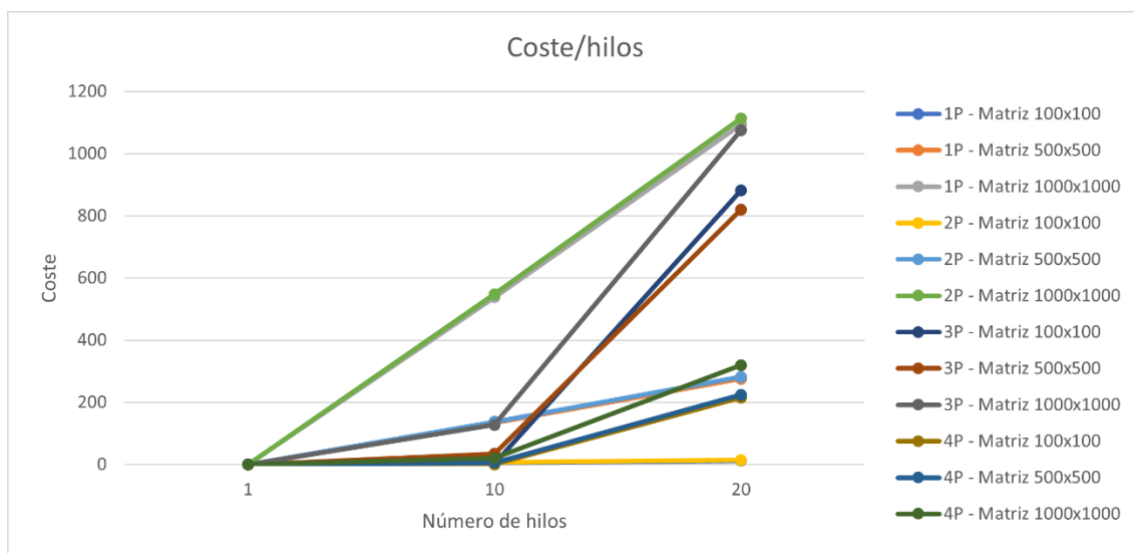


Ilustración 33: Gráfica de comparación del coste del programa frente al número de hilos utilizados en función del número de procesos de la máquina en remoto para el híbrido entre OpenMP y MPI

5.3. Conclusiones

Con la combinación de procesos con MPI junto con la paralelización de OpenMP se ha conseguido aprovechar de una forma más eficiente los recursos de las máquinas (tanto local como remota) logrando un tiempo de ejecución menor (en algunos casos perjudicados por los tiempo de comunicación entre procesos cuando el número de procesos es mayor que 1), un speedup y eficiencia mayor y un menor coste.

Además, al aumentar el número de procesos por máquina (aunque aumenten el número de hilos) disminuye el tiempo de ejecución y sobre todo, cuando se realiza con procesos que son múltiplos de 4 (debido a la estrategia de la división cartesiana implementada y explicada en el apartado de Implementación con procesos (MPI))

En definitiva, con esta solución implementada usando la combinación híbrida de las bibliotecas OpenMP con MPI se consigue utilizar las ventajas de ambos con el fin de lograr unos valores de tiempo, speedup, eficiencia y coste mucho mejores que el resto de las bibliotecas analizadas en este informe. Sin embargo, cabe destacar que, aunque con múltiplos de 4 procesos se consigue aprovechar la estrategia planteada para la división cartesiana, la comunicación entre ellos debido a la biblioteca MPI supone un impacto en las métricas analizadas, siendo esta la principal razón para utilizar este planteamiento en sustitución de la estrategia de división por filas y columnas, como se ha explicado anteriormente.

6. Conclusiones finales

En conclusión, del análisis realizado en todos los apartados, se analizará brevemente los puntos destacables del uso de cada biblioteca, ventajas y desventajas y resumen de las conclusiones extraídas.

Pthreads , por un lado, es la biblioteca que se ha utilizado como base de comparación de las otras bibliotecas, aprovechando la paralelización de los hilos para el reparto de tareas de la matriz entre ellos.

Por otro lado, MPI, supone un cambio sustancial en cuanto a speedup, coste y eficiencia, aunque no tanto en tiempo de ejecución frente a Pthreads. Esto es debido a que la comunicación entre procesos provoca una desventaja frente a las otras bibliotecas, desaprovechando tiempo en el envío de mensajes entre procesos.

En cuanto a OpenMP, el uso de directivas reduce el tiempo frente a su homóloga, Pthreads, reduciendo el tiempo de ejecución y coste y aumentando speedup, eficiencia. Sin embargo, según aumentan el número de hilos los valores extraídos de estas métricas no distan demasiado de los extraídos con Pthreads.

En definitiva, se puede afirmar que, cuanto mayor es el tamaño de la matriz, mayor es la eficiencia del algoritmo de paralelización debido a que un aumento del problema hace que la parte paralelizable crezca de forma cuadrática mientras que la parte secuencial (1 hilo – 1 proceso) crezca de forma lineal.

Como se ha mencionado, el uso de la implementación híbrida OpenMP con MPI no dista demasiado de los valores obtenidos con OpenMP aunque si supone una mejora y es la implementación que mejores resultados ha obtenido. Esto es debido a que ejecutar un proceso por máquina que use tanto hilos como procesadores tenga dicha máquina supone la estrategia más eficiente para aprovechar recursos y reducir costes.

Bibliografía

No hay ninguna fuente en el documento actual.